

## Max( $\bar{x}, \bar{y}$ ) TSP를 위한 발견적 해법<sup>†</sup>

### A Heuristic Method for Max( $\bar{x}, \bar{y}$ ) TSP<sup>†</sup>

이화기\* · 서상문\*\*

Hwaki Lee\*, Sangmoon Suh\*\*

#### Abstract

In this paper, the TSP(traveling salesman problem) which its costs(distance) between nodes are defined with Max( $\bar{x}, \bar{y}$ ) has been dealt. In order to find a satisfactory solution for this kind of problem, we generate weighted matrix, and then develope a new heuristic problem solving method using the weighted matrix. Also we analyze the effectiveness of the newly developed heuristic method comparing it with other heuristic algorithm already exists for Euclidean TSP. Finally, we apply a new developed algorithm to real Max( $\bar{x}, \bar{y}$ ) TSP such as PCB inserting.

#### 1. 서 론

PCB-보드에 부품을挿入하는挿入機械(inserting machine)는 두대의 모터에 의해 작동된다. 가로축 방향을調整하는 모터와 세로축 방향을調整하는 모터가 그것이다. 부품을 PCB-보드에 찍어주는 주 장치는 고정되어 있고, 보드를固定하고 있는 반침대가 두 대의 모터에 의해서 컨트롤을 받아 한 위치에서 다음 위치로 移動한다. 그러므로 이동거리는 가로축과 세로축중 긴 쪽만큼 움직이게 된다. 즉, PCB-보드에 필요한 모든 부품을挿入하는挿入機械의 生產性 문제는 마디간의 움직이는 거

리가 MAX( $\bar{x}, \bar{y}$ )로 정의되는 TSP이다.

TSP는 현재까지 多項式 알고리듬 (polynomial algorithm)이 알려져 있지 않은, 지수알고리듬만이 알려진 전형적인 NP-hard 문제들중의 하나이다. TSP의 계산량에 관한 복잡성(complexity)은 이 사실에 기인한다.

이러한 이유로 效率的인 발견적해법 (heuristic method)이 모색 되어져 왔다. 발견적 해법의 效率性은 다음과 같은 基準으로 評價된다.

- (a) 실행시간(running time)
- (b) 구현의 용이성(ease of implementation)
- (c) 유연성(flexibility)
- (d) 단순성(simplicity)

본 論文에서는 위와같은 기준에 부합하는 새로운 발견적 해법을 開發하는데 그 目的이 있다.

본 論文에서 다루고자 하는 TSP는 三角不等

\* 본 연구는 1993년도 인하대학교 연구비지원에 의하여 수행되었음.

\* 인하대학교 산업공학과

\*\* 한국원자력연구소 연구원

式(triangle inequality) 제약조건

$$C_{ij} \leq C_{ik} + C_{kj} \quad (\text{모든 } k \text{에 대해 } k \neq i, j)$$

을 만족하는  $\text{MAX}(\bar{x}, \bar{y})$  TSP와 Euclidean TSP로 限制한다. 두 마디  $i, j$ 의 座標를 각각  $(x_i, y_i)$ 라 하면,  $\text{MAX}(\bar{x}, \bar{y})$  TSP의 두 마디 상의 거리( $C_{ij}$ )는

$$C_{ij} = \max(|x_j - x_i|, |y_j - y_i|)$$

로 정의 되고, Euclidean TSP 문제의 두 마디 상의 거리( $C_{ij}$ )는

$$C_{ij} = \sqrt{(x_j - x_i)^2 + (y_j - y_i)^2}$$

로 정의된다.

현재 TSP를 위한 별건적해법(heuristic method)들은 크게 Tour Construction Heuristic Methods와 Tour Improvement Heuristic Methods 두 部類로 区分지을 수 있다. 전자에 속하는 알고리듬에는 最近距離隣接點(nearest neighbor) 알고리듬, 插入(Insertion) 알고리듬, Clarke and Wright Savings 알고리듬, Convex Hull 알고리듬과 Christofides' Heuristic 등이 있다. 후자에 속하는 알고리듬에는 r-optimal 알고리듬, Lin and Kernighan 알고리듬과 Or-opt 알고리듬 등이 있다.

## 2. 새로운 Tour Construction 알고리즘

### 2.1 加重值매트릭스의 意味와 生成

다음과 같은 費用( $C_{ij}$ ) 행렬을 갖는, 총 노드 수가 10개인 Symmetric TSP를 가정해 보자.

매트릭스상의 각 가지는 그 가지의 兩端에 걸쳐있는 두 개의 마디에 따라 兩面性을 가지고 있다. 편의상 표 1의 비용행렬을 갖는 TSP의 일부분을 그림으로 나타내면 그림 1과 같다. 즉 그림 1에서 보는 바와 같이 費用( $C_{ij}$ )이 8인 가지는 마디 ⑥, ⑤ 중에서 어떤 마디 상에서 意思決定을 할 것인가에 따라 이 가지를 選擇할려고 하는 意思決定者의 意志度가 각각 달라진다.

표 1. 費用 매트릭스

|    | 1  | 2  | 3  | 4  | 5  | 6  | 7  | 8  | 9  | 10 |
|----|----|----|----|----|----|----|----|----|----|----|
| 1  | -  | 8  | 5  | 9  | 12 | 14 | 12 | 16 | 17 | 22 |
| 2  | 8  | -  | 9  | 15 | 17 | 9  | 11 | 18 | 14 | 22 |
| 3  | 5  | 9  | -  | 7  | 9  | 11 | 7  | 12 | 12 | 17 |
| 4  | 9  | 15 | 7  | -  | 3  | 17 | 10 | 7  | 15 | 18 |
| 5  | 12 | 17 | 9  | 3  | -  | 8  | 10 | 6  | 15 | 15 |
| 6  | 14 | 9  | 11 | 17 | 8  | -  | 9  | 14 | 9  | 16 |
| 7  | 12 | 11 | 7  | 10 | 10 | 9  | -  | 8  | 6  | 11 |
| 8  | 16 | 18 | 12 | 7  | 6  | 14 | 8  | -  | 11 | 11 |
| 9  | 17 | 14 | 12 | 15 | 15 | 9  | 6  | 11 | -  | 10 |
| 10 | 22 | 22 | 17 | 18 | 15 | 16 | 11 | 11 | 10 | -  |

예를들면 마디 ⑥에서 費用이 8인 가지(⑤, ⑥)를 選擇하는 것이 다른 어떤 가지를 선택하는 것 보다도 總費用을 最少化하는데 가장 크게 寄與할 것처럼 보인다. 따라서 意思決定者는 가능한한 가지(⑥, ⑤)를 選擇하고자 할 것이다. 그러나 마디 ⑤에서는 費用이 8인 가지(⑤, ⑥)를 선택하는 것이 그밖의 다른 가지(⑤, ④)와 (⑤, ⑧)중 하나를 選擇하는 것 보다도 費用面에서 상당히 의사결정자의 意志度를 떨어뜨리는 結果가 될 것이다.

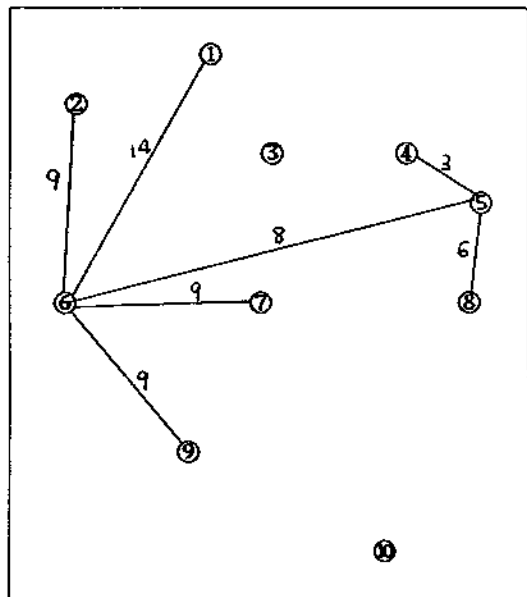


그림 1

이와같은 각 가지의 兩面性을 반영한 새로운 費用 매트릭스를 生成하면 어떤 가지를 선택할 것인가에 관한 의사결정(총비용을 최소화 하는데)에 큰 도움이 될 것 같다.

한가지 方案으로서 加重值 매트릭스(weighted matrix)를 다음과 같은 節次로 生成한다.

(a) 각 행(row)의 綜合을 구한다.

$$S_1 = \sum_{j=1}^n C_{1j}, \quad (\text{단, } 1 \leq j \leq n \text{이고 } j \neq 1 \text{인 정수})$$

$$S_2 = \sum_{j=1}^n C_{2j}, \quad (\text{단, } 1 \leq j \leq n \text{이고 } j \neq 2 \text{인 정수})$$

⋮

$$S_n = \sum_{j=1}^n C_{nj}, \quad (\text{단, } 1 \leq j \leq n \text{이고 } j \neq n \text{인 정수})$$

(b) 각 가지들의 相對比率를 구한다.

$$\begin{bmatrix} 0 & A_1 = C_1/S_1 & A_2 = C_2/S_1 & \cdots & A_k = C_k/S_1 \\ A_1 = C_1/S_1 & 0 & A_2 = C_2/S_2 & \cdots & A_{2n} = C_{2n}/S_2 \\ A_2 = C_2/S_2 & A_3 = C_3/S_2 & 0 & \cdots & A_{2k} = C_{2k}/S_2 \\ \vdots & \vdots & \ddots & \ddots & \vdots \\ A_{2l} = C_{2l}/S_l & A_{22} = C_{22}/S_2 & A_{23} = C_{23}/S_2 & \cdots & 0 \end{bmatrix}$$

(b) 를 적용하면 비대칭(asymmetric) 매트릭스가 생성된다. 다음의 (c)과정을 적용하여 대칭 매트릭스로 만들어 준다.

(c) 마지막으로 최종 생성된 가중치 매트릭스는 다음과 같은 對稱行列이 된다.

$$\begin{bmatrix} 0 & C_1(A_2+A_3) & C_2(A_3+A_4) & \cdots & C_n(A_n+A_1) \\ 0 & C_2(A_1+A_3) & C_3(A_2+A_4) & \cdots & C_{2n}(A_{2n}+A_1) \\ 0 & \cdots & C_3(A_2+A_4) & \cdots & C_{2n}(A_{2n}+A_1) \\ \vdots & \ddots & \vdots & \ddots & \vdots \\ 0 & \cdots & \cdots & \cdots & 0 \end{bmatrix}$$

생성된 加重值 매트릭스의 각 費用은 변화된 것이기 때문에 이 매트릭스를 이용한 最適解가 原問題의 最適解와 반드시 일치하지는 않는다. 단지 開發하고자 하는 발견적 해법에 하나의 도구로서만 利用될 뿐이다.

## 2.2 整列 알고리즘

整列 알고리즘에는 이미 開發된 것들이 많이 있다. n개의 資料를 정렬하고자 할 때 가장 效率性이 낮은 버블 정렬(Bubble Sort) 알고리

즘의 경우 연산회수는

$$O(n) = \frac{n(n-1)}{2}$$

이다. 기존의 整列 알고리즘 중 가장 效率性이 좋은 Quick Sort 알고리즘의 경우 5000개의 자료를 가지고 同種의 컴퓨터에서 버블 정렬 알고리즘과 비교 실험하였을 前者는 11초를 소요하였다.

본 論文에서 이용한 정렬 알고리즘은 Quick Sort 알고리즘이다.

## 2.3 加重值 정렬과 그 意味

n개의 노드를 가지는 TSP에서 加重值 매트릭스를 生成한 다음 새롭게 생성된 매트릭스에서 각 행별로 加重值값이 가장 작은 가지를 2개씩을 選定한다. 이렇게 선정된 2n개의 가지들을 새로운 費用에 대한 오름차순으로 정렬한 다음과 같다.

$$(W_1, W_2, W_3, \dots, W_{2n}) \quad (1)$$

앞에 나오는 가지 일수록 意思決定者가 그 가지의 兩端에 걸쳐있는 노드에서 의사결정을 할 경우 그 가지를 選擇하려는 意志度는 높아진다. 위와같이 정렬된 가지들을 利用하여 Hamiltonian Cycle을 構成하기 위한 政策은 앞에서 부터 차례로 가지들을 選擇하는 것이다. 이러한 선정과정에서 部分循環路(subtour)를 형성하는 가지와 양단의 두 노드의 degree가 2이상인 것이 하나라도 존재하는 가지는 제외 한다. 다시말하면 의사결정자의 意志度가 가장 큰 것이 비용을 최소화하는데 가장 크게 寄與할 것이라는 意味가 담겨있는 것이다.

n개의 노드를 가지는 TSP는 費用을 최소화하도록 n개의 가지들을 선택하여 Hamiltonian Cycle을 구성하는 것이다. 加重值 매트릭스를 이용하여 정렬된 2n개의 가지중에서 되도록 n개의 가지를 다 選定할 수 있다면, 이렇게 構成된 tour가 最適解임을 증명할 수는 없지만 보다 좋은 解임은 틀림 없을 것이다.

## 2.4 加重值 정렬을 이용한 발견적해법

加重值 行列을 이용하여 정렬된 각 가지들을 선택할 때는 다음과 같은 두가지 條件들을 만족하여야 한다.

(a) 각 가지의 兩端에 걸쳐있는 두 노드의 degree는 0 또는 1이어야 한다.

(b) 그 가지를 選擇했을 때 subtour가 발생하지 않아야 한다.

위의 두 條件을 만족하면서도 Hamiltonian Cycle을 構成하기 위해서는 다음과 같은 새로운 表記法이 필요하다.

$d_i$  : 각 가지의 兩端에 걸치는 두 마디는 현재 degree.

$g_i$  : 각 노드가 속하는 group을 나타내는 정수

예를들면 차례로 가지를 선택해 나가는 과정에서 가지 양단에 걸쳐있는 두마디의 degree가 각각 1이고 속해있는 group이 같다면 subtour가 발생한다. 따라서 이 가지는 선정과정에서 제외 된다.

위와같은 主要 두 노테이션을 利用한 tour construction 알고리즘은 다음과 같다.

### Phase- I :

**Step 1 :** 加重值 매트릭스상에서 각 행별로  $C_{ij}$  값이 가장작은 가지 2개씩을 선택한다. 이렇게 선택된  $2n$ 개의 가지들을 오름차순으로 整列한다. 모든 마디에 대한  $d_i$ 를 0으로 놓는다. 모든 마디에 대한  $g_i$ 를 i로 놓는다.  $k=1$ 로 놓는다.  $S_{sub}=\{0\}$ .

**Step 2 :** 정렬된 가지중에서 k번째 가지 兩端의 노드 i, j에 대하여  $d_i \neq 2$ 과  $d_j \neq 2$ 이고,  $g_i \neq g_j$ 이면 이 가지를 集合  $S_{sub}$ 에 넣고 Step 3으로 간다. 그렇지않으면 k를 1만큼 增加시키고 Step 2를 다시 반복한다.

**Step 3 :** k를 1만큼 增加시킨다.

i) 만약에 선택된 가지 兩端에

있는 두 노드의  $d_i=d_j=1$  이면  $g_i$ 인 모든 노드를  $g_i$ 로 놓는다.  $d_i=d_i+1$ ,  $d_j=d_j+1$ 로 놓는다.

ii) 만약에 선택된 가지 兩端에 있는 두 노드의  $d_i$ ,  $d_j$ 중에서  $d_i=0$ 이면  $g_i=g_j$ 로 놓고, 그렇지 않으면  $g_i=g_j$ 로 놓는다.

$k=2n+1$ 이면 Step 4로 가고, 그렇지 않으면 Step2로 돌아간다.

**Step 4 :** Phase II를 連續의으로 適用한다.

### Phase- II

**Step 1 :**  $d_i$ ,  $g_i$ 는 Phase- I 으로 부터 連續이다. m를 1로 놓는다.

**Step 2 :**  $d_m=1$ 이면 Step 3으로 가고, 그렇지 않으면 m을 1만큼 증가시킨다음 Step2를 反復한다.

**Step 3 :**  $i \neq m$ ,  $d_i=1$ ,  $g_i \neq g_m$ 인 모든 노드 i에 대하여  $C_{im}$  중 가장 작은 값을 가지는 arc를 選擇하여 집합  $S_{sub}$ 에 넣는다.  $d_i=d_i+1$ ,  $d_m=d_m+1$ 로 놓는다.  $g_m$ 인 모든 노드의  $g$ 값을  $g_i$ 로 놓는다.  $m=n$ 이면 Step 4로 가고, 그렇지 않으면 m을 1만큼 增加시킨다음 Step 2를 反復한다.

**Step 4 :** 이 단계에서 모든 노드의 degree를 檢查하면  $d_i=1$ 인 두개의 노드가 존재한다. 이 두 노드를 잇는 가지를 선택하여 집합  $S_{sub}$ 에 넣는다. 아직까지  $d_i$ 가 0인 모든 노드를 총비용이 최소가되는 방향으로 차례로 삽입시킨다.

주의 할 점은 Phase- II 적용 과정에서는 原 매트릭스를 사용한다. 실험적으로 Phase- I 適用 과정에서는 약  $0.85n \sim 0.9n$ 개의 가지가 選定 되어졌다. Phase- II에서 나머지 가지들을 選定한다.

위 알고리듬을 순서도(flow chart)로 나타내면 그림 2와 같다.

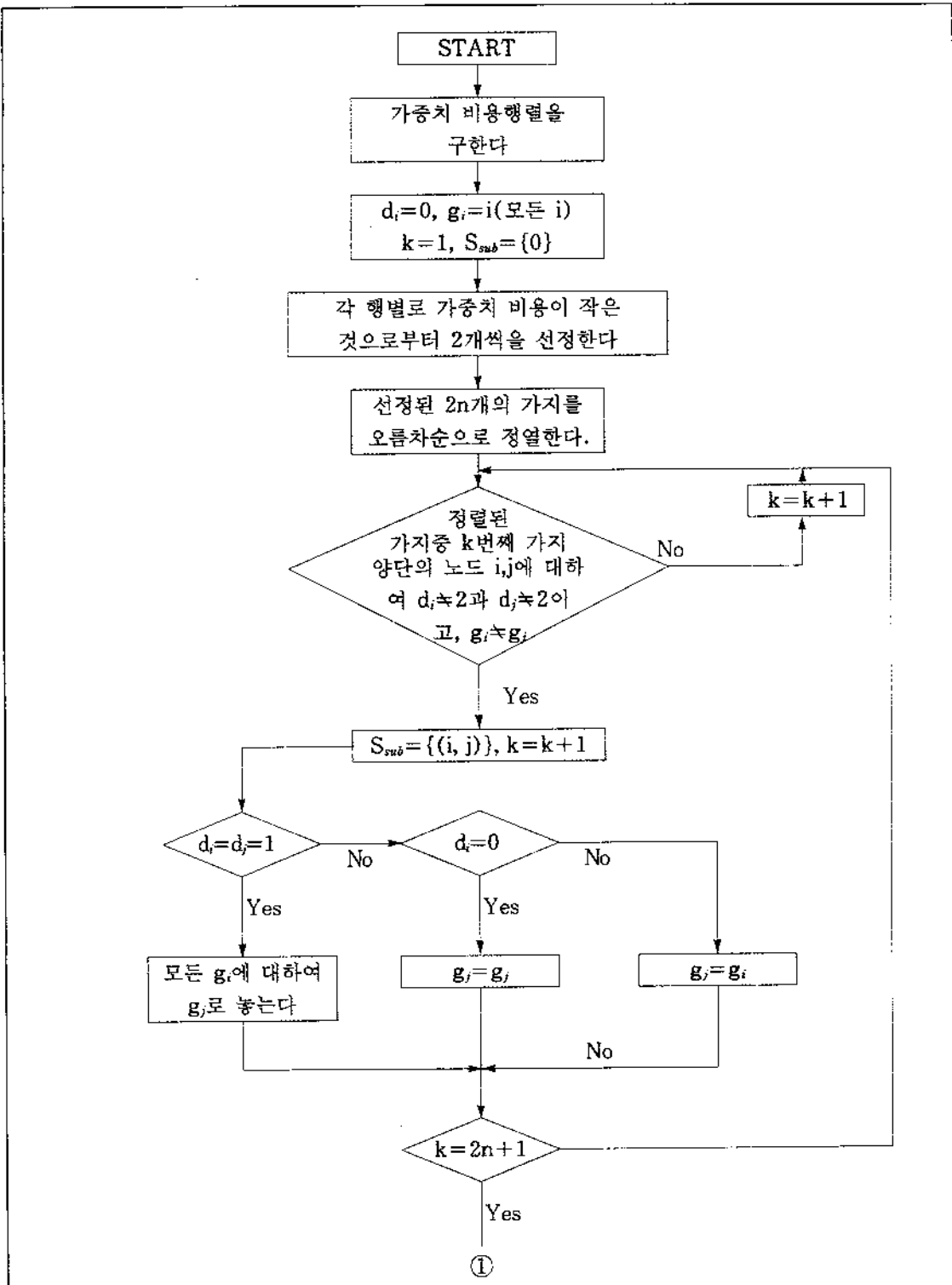


그림 2. (계속)

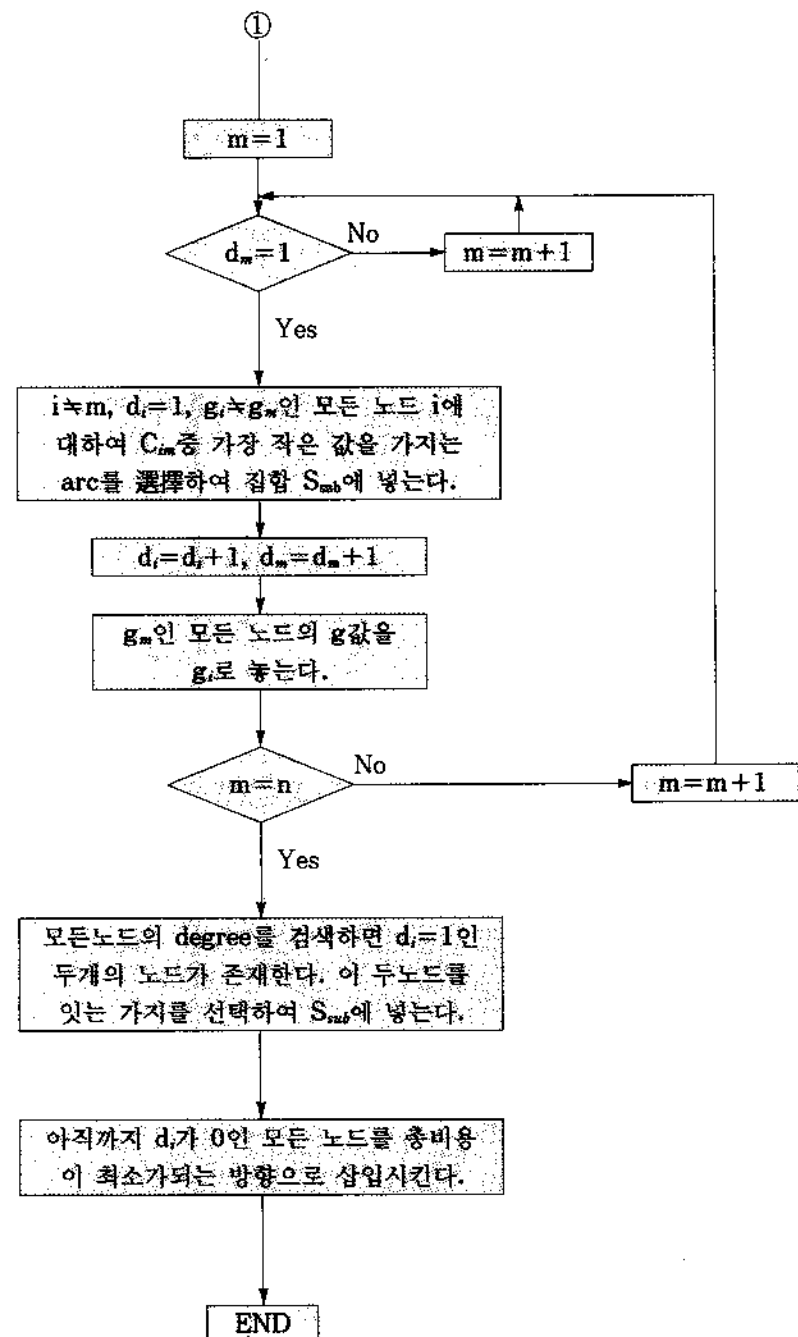


그림 2

## 2.5 開發된 알고리듬의 適用 例

표 1의 비용행렬을 갖는 10노드 문제를 개발한 Tour Construction 알고리듬에 적용한 계산과정은 다음과 같다. 먼저 가중치 비용행렬을 구한다.

|    | 1 | 2    | 3    | 4    | 5    | 6    | 7    | 8    | 9    | 10   |
|----|---|------|------|------|------|------|------|------|------|------|
| 1  | - | 0.80 | 0.49 | 1.50 | 2.76 | 3.53 | 2.96 | 4.70 | 5.16 | 7.60 |
| 2  | - | -    | 1.56 | 4.04 | 5.38 | 1.40 | 2.42 | 5.77 | 3.38 | 7.33 |
| 3  | - | -    | -    | 1.03 | 1.76 | 2.48 | 1.13 | 3.00 | 2.93 | 5.27 |
| 4  | - | -    | -    | -    | 0.17 | 5.56 | 2.18 | 0.95 | 4.28 | 5.48 |
| 5  | - | -    | -    | -    | -    | 1.26 | 2.24 | 0.71 | 4.42 | 3.94 |
| 6  | - | -    | -    | -    | -    | -    | 1.71 | 3.73 | 1.49 | 4.19 |
| 7  | - | -    | -    | -    | -    | -    | -    | 1.38 | 0.75 | 2.28 |
| 8  | - | -    | -    | -    | -    | -    | -    | -    | 2.28 | 2.02 |
| 9  | - | -    | -    | -    | -    | -    | -    | -    | -    | 1.61 |
| 10 | - | -    | -    | -    | -    | -    | -    | -    | -    | -    |

가중치 비용행렬상에서 각 행당 작은 비용을 갖는 것으로 부터 2개씩의 가지를 선정한다. 선정된 가지와 각각의 가중치 값을 다음 표와 같다.

| (1,3) | (1,2) | (2,3) | (2,6) | (3,4) | (3,7)  | (4,5) | (4,8)  | (5,6)  | (5,8)  |
|-------|-------|-------|-------|-------|--------|-------|--------|--------|--------|
| 0.49  | 0.80  | 1.56  | 1.40  | 1.03  | 1.13   | 0.17  | 0.95   | 1.26   | 0.71   |
| (6,7) | (6,9) | (7,8) | (7,9) | (8,9) | (8,10) | (9,3) | (9,10) | (10,5) | (10,7) |
| 1.71  | 1.49  | 1.38  | 0.75  | 2.28  | 2.02   | 2.93  | 1.61   | 3.94   | 2.29   |

위와 같이 선정된  $2n$ 개의 가지들을 각각의 가중치 값에 따라 오름차순으로 정렬하면

(4,5) (1,3) (5,8) (7,9) (1,2) (4,8)  
 (3,4) (3,7) (5,6) (7,8) (2,6) (6,9)  
 (2,3) (9,10) (6,7) (8,10) (8,9) (10,7)  
 (9,3) (10,5)

개발한 Tour Construction 알고리듬의 Phase I 을 적용하여 보자.

먼저 각 노드의 현재의 degree를 나타내는 노테이션  $d_i$ 와  $g_i$ 를 다음과 같이 초기화 시켜준다.

$$d_i = 0, \text{ (단, } i=1,2,3,\dots,n\text{)}$$

$$g_i = 0, \text{ (단, } i=1,2,3,\dots,n\text{)}$$

(a) 첫번째 가지 (4,5)에 대하여  $d_4=0 < 2$ ,  $d_5=0 < 2$ 이고  $g_4 \neq g_5$ 이므로  $S_{sub}=\{(4,5)\}$ ,  $d_4=d_4+1=1$ ,  $d_5=d_5+1=1$ 과  $g_4=g_5=5$ 로 놓는다.

(b) 두번째 가지 (1,3)에 대하여  $d_1=0 < 2$ ,  $d_3=0 < 2$ 이고  $g_1 \neq g_3$ 이므로  $S_{sub}=\{(4,5), (1,3)\}$ ,  $d_1=d_1+1=1$ ,  $d_3=d_3+1=1$ 과  $g_1=g_3=3$ 로 놓는다.

(c) 세번째 가지 (5,8)에 대하여  $d_5=1 < 2$ ,  $d_8=0 < 2$ 이고  $g_5 \neq g_8$ 이므로  $S_{sub}=\{(4,5), (1,3), (5,8)\}$ ,  $d_5=d_5+1=2$ ,  $d_8=d_8+1=1$ 과  $g_5=g_8=5$ 로 놓는다.

(d) 네번째 가지 (7,9)에 대하여  $d_7=0 < 2$ ,  $d_9=0 < 2$ 이고  $g_7 \neq g_9$ 이므로  $S_{sub}=\{(4,5), (1,3), (5,8), (7,9)\}$ ,  $d_7=d_7+1=1$ ,  $d_9=d_9+1=1$ 과  $g_7=g_9=9$ 로 놓는다.

(e) 다섯번째 가지 (1,2)에 대하여  $d_1=1 < 2$ ,  $d_2=0 < 2$ 이고  $g_1 \neq g_2$ 이므로  $S_{sub}=\{(4,5), (1,3), (5,8), (7,9)\}$ ,  $d_1=d_1+1=1$ ,  $d_2=d_2+1=1$ 과  $g_1=g_2=3$ 로 놓는다.

(f) 여섯번째 가지 (4,8)에 대하여  $d_4=2$ 이므로 선택하지 않는다.

위와 같은 방식으로 20번째 가지 까지 Phase I 을 적용 시켜 나가면 그림 3과 같은 미완성 tour를 구할 수 있다.

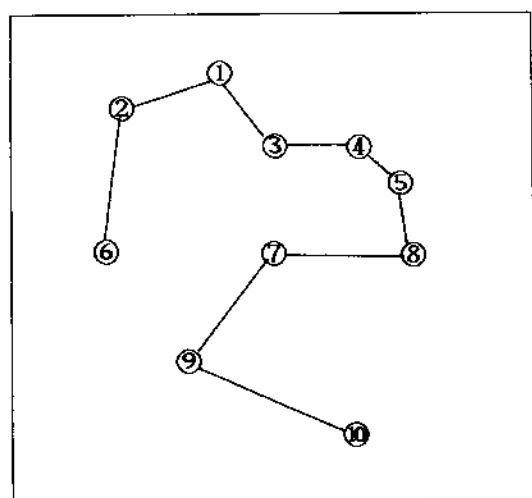


그림 3

현재까지 노드 9와 10만이 degree가 1이다. Phase II를 연속적으로 적용하여 그림 4과 같은 완성 tour를 구한다.

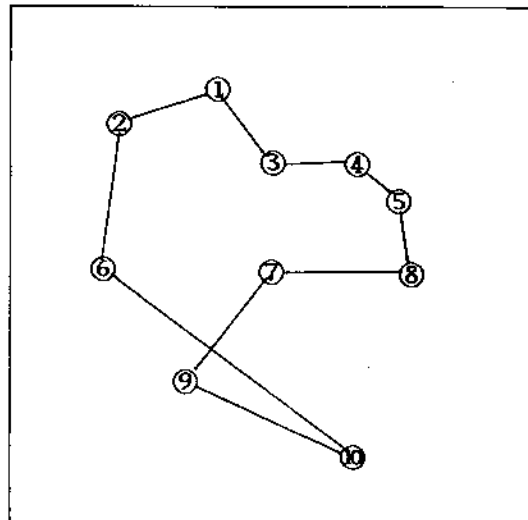


그림 4

### 3. 효율성 分析

새로운 알고리즘의 효율성 분석을 위해 적용되는 시험문제(test problem)는 각 문제당 마디를 座標形式으로 均一분포에서 문제당 100개씩의 노드를抽出하여 30개를 발생시켰다. x와 y좌표의範圍는

$$0 < x < 640, (\text{단, } x \text{는 정수})$$

$$0 < y < 480, (\text{단, } y \text{는 정수})$$

이다. 즉, 각각의 發生된 試驗問題는 n이 100인 對稱(symmetric) TSP이다.

#### 3.1 MAX( $\bar{x}$ , $\bar{y}$ ) TSP문제의 경우

이 節에서 발생된 100개의 試驗問題에서 각 노드간의 費用(distance)을 MAX( $\bar{x}$ ,  $\bar{y}$ )로 정의하여 費用 매트릭스를 생성한 다음 개발된 Construction알고리듬을 일반적인 TSP문제의 경우에 있어서 가장 效率性이 높다고 알려진 기존의 알고리듬과 比較 分析하였다. 편의상 다음과 같은 表記法을 使用하겠다.

N-N : 最近距離隣接點(nearest-neighbor) 알고리듬

W-S : 개발된 Tour Construction 알고리듬

L-K : Lin & Kernighan 알고리듬

표 2에서 보는바와 같이 100개의 노드를 갖는 30개의 test문제를 시험 하였을때 最近距離隣接點 알고리즘의 평균 所要時間은 0.315sec 가 걸렸고, 개발한 알고리듬은 0.18sec가 소요되었다. 구해진 Hamiltonian循環路의 總費用 면에서도 30개의 試驗問題중 개발된 Tour Construction 알고리듬이 6개를 제외한 24개의 시험문제에서 優勢하였다. 最近距離隣接點 알고리듬을 적용 하였을 경우 출발 노드는 문제 발생시 맨 처음 발생된 노드이다.

표 2. 最近距離隣接點 알고리듬과 開發된 알고리듬의 結果 比較

| Test Problem | N-N       |        | W-S       |        | $C_{N-N} - C_{W-S}$ |
|--------------|-----------|--------|-----------|--------|---------------------|
|              | $C_{N-N}$ | *t/sec | $C_{W-S}$ | *t/sec |                     |
| TP 01        | 4850      | 0.33   | 4439      | 0.16   | 411                 |
| TP 02        | 4434      | 0.33   | 4219      | 0.16   | 215                 |
| TP 03        | 4582      | 0.28   | 4555      | 0.16   | 27                  |
| TP 04        | 4744      | 0.28   | 4779      | 0.22   | -35                 |
| TP 05        | 4722      | 0.28   | 4493      | 0.22   | 229                 |
| TP 06        | 4998      | 0.33   | 4714      | 0.16   | 284                 |
| TP 07        | 5289      | 0.33   | 4507      | 0.16   | 782                 |
| TP 08        | 4620      | 0.28   | 4756      | 0.22   | -136                |
| TP 09        | 5228      | 0.33   | 4550      | 0.16   | 678                 |
| TP 10        | 5311      | 0.33   | 4703      | 0.22   | 608                 |

| Test Problem | N-N       |        | W-S       |        | $C_{N-N} - C_{W-S}$ |
|--------------|-----------|--------|-----------|--------|---------------------|
|              | $C_{N-N}$ | *t/sec | $C_{W-S}$ | *t/sec |                     |
| TP 11        | 4534      | 0.33   | 4360      | 0.16   | 174                 |
| TP 12        | 4972      | 0.33   | 4432      | 0.16   | 540                 |
| TP 13        | 4771      | 0.33   | 4802      | 0.16   | -31                 |
| TP 14        | 5059      | 0.28   | 4314      | 0.16   | 745                 |
| TP 15        | 4730      | 0.28   | 4697      | 0.16   | 33                  |
| TP 16        | 4630      | 0.33   | 4449      | 0.16   | 181                 |
| TP 17        | 4201      | 0.33   | 4818      | 0.16   | -617                |
| TP 18        | 5089      | 0.33   | 4866      | 0.16   | 223                 |
| TP 19        | 4911      | 0.33   | 4958      | 0.16   | -47                 |
| TP 20        | 4989      | 0.33   | 4407      | 0.16   | 582                 |
| TP 21        | 4747      | 0.33   | 4173      | 0.16   | 574                 |
| TP 22        | 4291      | 0.28   | 4368      | 0.22   | -77                 |
| TP 23        | 5256      | 0.28   | 4654      | 0.22   | 602                 |
| TP 24        | 4242      | 0.33   | 4004      | 0.16   | 238                 |
| TP 25        | 4668      | 0.33   | 4481      | 0.16   | 187                 |
| TP 26        | 5831      | 0.33   | 4465      | 0.22   | 1366                |
| TP 27        | 4998      | 0.33   | 4964      | 0.16   | 34                  |
| TP 28        | 5017      | 0.28   | 4331      | 0.16   | 686                 |
| TP 29        | 4926      | 0.33   | 4592      | 0.22   | 334                 |
| TP 30        | 4825      | 0.33   | 4746      | 0.16   | 79                  |

(\* 현재 Super 486/25i의 CPU time)

neighbor 알고리듬의 初期解를 구한다음 Lin & Kerninghan 개선 알고리듬을 適用한 결과와 개발된 알고리듬으로 초기해를 구한 후 Lin &

Kerninghan 改善 알고리듬을 適用한 結果는 아래 표 3와 같다.

표 3. 最近距離接點 알고리듬+Lin & Kerninghan과 開發된 알고리듬+Lin & Kerninghan과의 計算 結果 比較

| Test Problem | N-N<br>& L-K<br>( $C_{N-L}$ ) | W-A<br>\$ L-K<br>( $C_{W-L}$ ) | $C_{N-L}$<br>$-C_{W-L}$ | Test Problem | N-N<br>& L-K<br>( $C_{N-L}$ ) | W-A<br>\$ L-K<br>( $C_{W-L}$ ) | $C_{N-L}$<br>$-C_{W-L}$ |
|--------------|-------------------------------|--------------------------------|-------------------------|--------------|-------------------------------|--------------------------------|-------------------------|
| TP 01        | 3923                          | 3915                           | 8                       | TP 16        | 3863                          | 3838                           | 25                      |
| TP 02        | 4059                          | 3850                           | 209                     | TP 17        | 4052                          | 3988                           | 64                      |
| TP 03        | 3951                          | 3932                           | 19                      | TP 18        | 4047                          | 3960                           | 87                      |
| TP 04        | 4066                          | 4056                           | 10                      | TP 19        | 3977                          | 3942                           | 35                      |
| TP 05        | 3965                          | 3987                           | -22                     | TP 20        | 3890                          | 3941                           | -51                     |
| TP 06        | 4014                          | 3928                           | 86                      | TP 21        | 3940                          | 3843                           | 97                      |
| TP 07        | 4030                          | 4068                           | -38                     | TP 22        | 3849                          | 3837                           | 9                       |
| TP 08        | 3860                          | 3856                           | 4                       | TP 23        | 4071                          | 4082                           | 11                      |
| TP 09        | 4143                          | 4053                           | 90                      | TP 24        | 3510                          | 3510                           | 0                       |
| TP 10        | 4082                          | 4135                           | -71                     | TP 25        | 4009                          | 3975                           | 34                      |
| TP 11        | 3947                          | 3872                           | 75                      | TP 26        | 4126                          | 4083                           | 43                      |
| TP 12        | 3806                          | 3732                           | 74                      | TP 27        | 3983                          | 3887                           | 96                      |
| TP 13        | 4011                          | 3961                           | 50                      | TP 28        | 3721                          | 3736                           | -15                     |
| TP 14        | 4037                          | 3880                           | 157                     | TP 29        | 3870                          | 3833                           | 37                      |
| TP 15        | 3978                          | 3973                           | 5                       | TP 30        | 4075                          | 4173                           | 98                      |

표 4. 最近距離前點 알고리듬 + Lin &amp; Kernighan과 開發된 알고리듬 + Lin &amp; Kernighan과의 소요시간 結果 比較

| Test Problem | N-N<br>& L-K<br>*(t/sec) | W-S<br>& L-K<br>*(t/sec) | Test Problem | N-N<br>& L-K<br>*(t/sec) | W-S<br>& L-K<br>*(t/sec) |
|--------------|--------------------------|--------------------------|--------------|--------------------------|--------------------------|
| TP 01        | 1.264                    | 1.044                    | TP 16        | 1.264                    | 1.484                    |
| TP 02        | 1.429                    | 0.989                    | TP 17        | 1.209                    | 1.264                    |
| TP 03        | 1.319                    | 1.429                    | TP 18        | 1.978                    | 1.373                    |
| TP 04        | 1.319                    | 1.703                    | TP 19        | 1.374                    | 1.593                    |
| TP 05        | 1.374                    | 1.538                    | TP 20        | 1.593                    | 1.319                    |
| TP 06        | 1.978                    | 0.824                    | TP 21        | 1.593                    | 0.769                    |
| TP 07        | 1.319                    | 1.319                    | TP 22        | 1.429                    | 1.538                    |
| TP 08        | 1.154                    | 1.648                    | TP 23        | 1.648                    | 1.154                    |
| TP 09        | 1.703                    | 0.879                    | TP 24        | 1.703                    | 1.868                    |
| TP 10        | 1.923                    | 1.319                    | TP 25        | 1.484                    | 0.934                    |
| TP 11        | 1.429                    | 1.044                    | TP 26        | 1.868                    | 0.989                    |
| TP 12        | 2.308                    | 1.209                    | TP 27        | 1.703                    | 1.484                    |
| TP 13        | 1.538                    | 1.429                    | TP 28        | 1.648                    | 1.099                    |
| TP 14        | 1.374                    | 0.934                    | TP 29        | 1.374                    | 2.198                    |
| TP 15        | 1.758                    | 1.703                    | TP 30        | 1.319                    | 1.099                    |

( \* 현대 Super 486.25i의 CPU time)

표 5. Euclidean비용의 비교

| Test Problem | N-N<br>& L-K<br>(C <sub>N-L</sub> ) | W-S<br>& L-K<br>(C <sub>W-L</sub> ) | C <sub>N-L</sub><br>- C <sub>W-L</sub> | Test Problem | N-N<br>& L-K<br>(C <sub>N-L</sub> ) | W-S<br>& L-K<br>(C <sub>W-L</sub> ) | C <sub>N-L</sub><br>- C <sub>W-L</sub> |
|--------------|-------------------------------------|-------------------------------------|--|--------------|-------------------------------------|-------------------------------------|--|
| TP 01        | 4411.9                              | 4462.1                              | -50.2                                  | TP 16        | 4370.7                              | 4341.8                              | 28.9                                   |
| TP 02        | 4425.1                              | 4359.7                              | 65.4                                   | TP 17        | 4520.4                              | 4407.9                              | 112.5                                  |
| TP 03        | 4466.8                              | 4458.6                              | 8.2                                    | TP 18        | 4537.5                              | 4592.6                              | -55.1                                  |
| TP 04        | 4473.6                              | 4559.2                              | -85.6                                  | TP 19        | 4478.9                              | 4434.6                              | 44.3                                   |
| TP 05        | 4509.7                              | 4454.1                              | 55.6                                   | TP 20        | 4333.8                              | 4436.8                              | -103.0                                 |
| TP 06        | 4606.1                              | 4491.9                              | 114.2                                  | TP 21        | 4390.0                              | 43.77.2                             | 12.8                                   |
| TP 07        | 4411.8                              | 4467.8                              | -56.0                                  | TP 22        | 4266.9                              | 4263.9                              | 3.0                                    |
| TP 08        | 4355.6                              | 4229.3                              | 126.3                                  | TP 23        | 4620.4                              | 4524.0                              | 96.4                                   |
| TP 09        | 4591.3                              | 4661.8                              | -70.5                                  | TP 24        | 4212.2                              | 4184.6                              | 27.6                                   |
| TP 10        | 4715.3                              | 4663.9                              | 51.4                                   | TP 25        | 4366.9                              | 4499.3                              | -132.4                                 |
| TP 11        | 4428.5                              | 4386.0                              | 42.5                                   | TP 26        | 4629.4                              | 4747.2                              | -117.8                                 |
| TP 12        | 4200.1                              | 4255.8                              | -55.7                                  | TP 27        | 4457.2                              | 4402.0                              | 55.2                                   |
| TP 13        | 4455.1                              | 4512.5                              | -57.4                                  | TP 28        | 4216.7                              | 4267.3                              | -50.6                                  |
| TP 14        | 4528.9                              | 4331.1                              | 197.8                                  | TP 29        | 4442.3                              | 4450.8                              | -8.5                                   |
| TP 15        | 4525.2                              | 4476.6                              | 48.6                                   | TP 30        | 4588.4                              | 4442.1                              | 146.3                                  |

알고리듬의 適用결과 30개의 試驗문제중 5개의 시험문제에서만 약간 解가 좋지 않았고, 나머지 25개의 시험문제에서는 優勢하였다.

표 4에서 보는바와 같이 時間 면에서도 30개의 試驗問題에 기준 알고리듬들을 適用 하였을 경우 평균 1,546sec가 所要된 반면 새로운 알고리듬을 適用한 結果는 1,342sec가 걸렸다.

### 3.2 Euclidean TSP의 경우

이 節에서는 3.1절에서 발생한 30개의 試驗問題를 그대로 사용하였다. 다만 각 노드간의 費用(distance)을 Euclidean distance로 정의하여 費用 매트릭스를 生成한 다음 각각의 알

고리듬을 適用 하였다. 그 결과를 산출한 다음 效率性 분석을 시행 하였다. 費用을 Euclidean distance로 정의하여 시험문제를 푼 결과는 표 5와 같다.

총 30개의 시험문제중 18개의 문제에서 개발한 알고리듬으로 初期解를 구한 다음 Lin & Kernighan개선 알고리듬을 適用한 결과가 優勢하였지만 월등하게 우세하다고는 결론을 내릴수는 없다.

### 4. PCB-보드의 例

開發된 알고리듬을 PCB-보드 插入 문제에

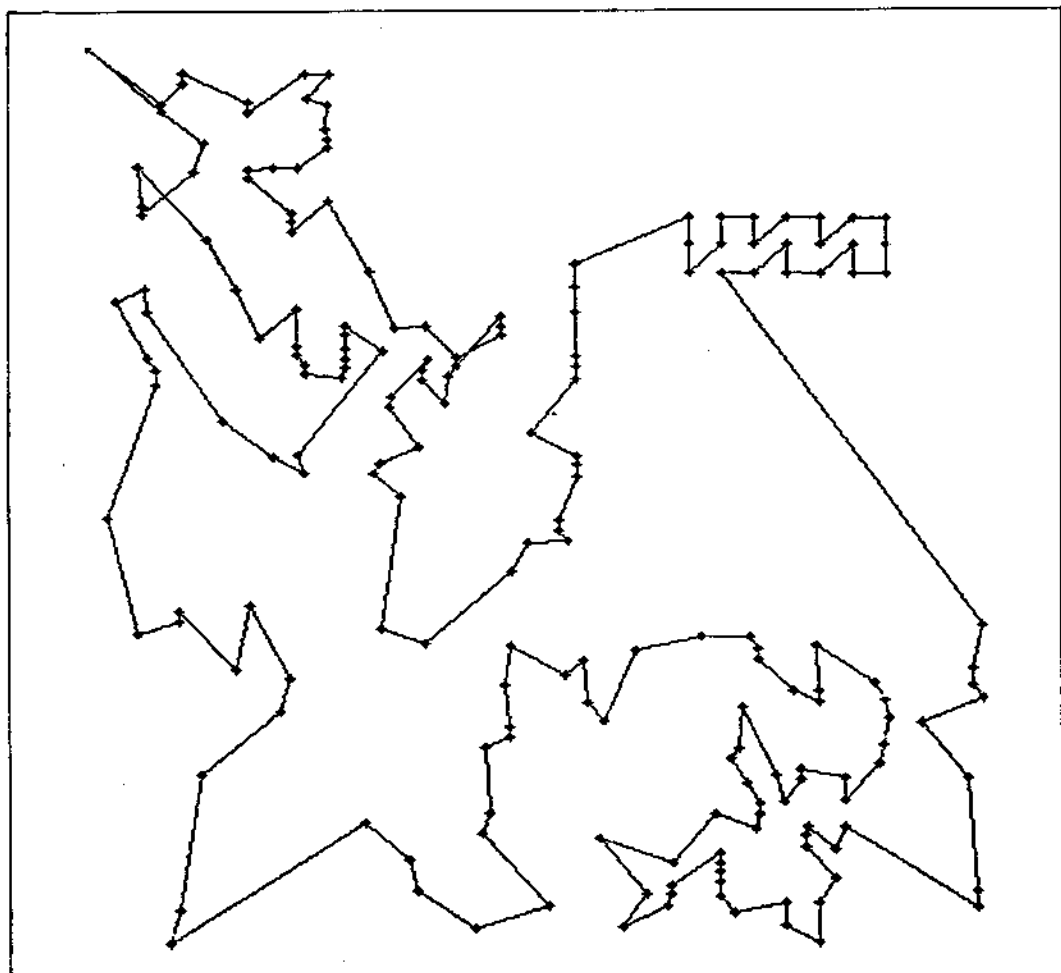


그림 5. 195경우의 경로

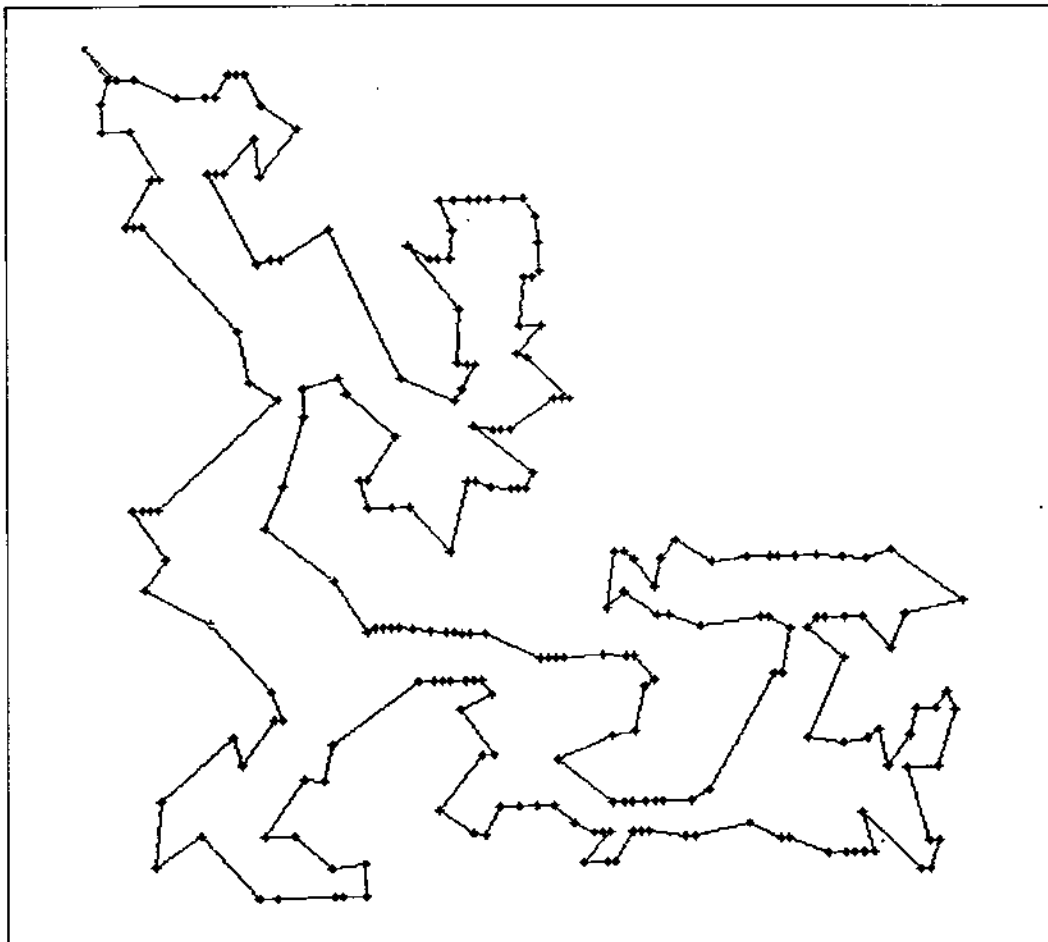


그림 6. 236경우의 경로

適用하였다. PCB-보드는 다품종 중량 생산체제로 다양한 보드마다 매번 효율적인 삽입이 요구된다. 이 중 한예를 들면, 對象 PCB-보드는 총 430개의 마디로構成되어 있다. 그러나 실제로는 部品을 插入해주는 방향에 따라 각각 195개와 235개의 노드로 구성되는 두개의  $\max(\bar{x}, \bar{y})$  TSP로 分類 할 수 있다.

그림 5는 195개의 경우 개발된 알고리즘을 적용한 해이고, 그림 6은 235개의 경우의 해이다.

## 5. 結 論

본 論文에서는 새로운 아이디어를 바탕으로

$\max(\bar{x}, \bar{y})$  TSP에 대한 tour Construction 알고리듬을 개발 하였다. 開發된 알고리듬을 Construction 알고리듬으로 하여 기존의 Tour Improvement 알고리듬을 적용 하였다. Euclidean TSP에서의 初期解 구성 알고리즘으로 가장一般的으로 사용되는 最近距離隣接點(nearest-neighbor) 알고리즘 보다도 새로 開發한 알고리즘의 效率性이  $\max(\bar{x}, \bar{y})$  TSP의 경우 실행시간 면에서나, 구해진 解 면에서 優勢하다. 또한 改善 알고리즘으로서 Lin and Kerninghan을 적용하였을 때도 좋은 結果를 구할 수 있었다.

## 참 고 문 헌

1. 姜孟圭(1991), “네트워크와 알고리듬”, 博英社.
2. 尹錫喆(1990). “계량 경영학”, 經文社.
3. LEE J. BAIN, MAX ENGELHARDT. *Introduction to Probability and Mathematical Statistics*(1987). Duxbury Press.
4. B. GOLDEN, L. BODIN, T. DOYLE and W. STEWART.JR. *Approximate Traveling Salesman Algorithms*(1979). Oper. Res. 28, 694-711.
5. E.L.Lawler, J.K.Lenstra, A.H.G.Rinnooy Kan, D.B.Shmoys, *The traveling salesman problem*(1983). JOHN WILEY & SONS
6. DON T. PHILLIPS, ALBERTO GARCIA-DIAZ. *Fundamentals of network analysis* (1981). Prentice-Hall, Inc.